

# 実験トランジスタ・アンプ設計講座

黒田 徹

## ●実用技術編

### 第10章 回路シミュレータ SPICE 入門 (29)

#### マッキントッシュ出力段回路の特長

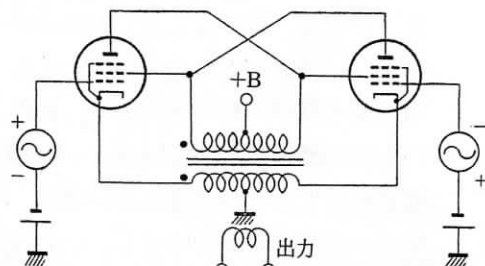
今回はマッキントッシュ(風)パワー・アンプをシミュレーションしましょう。

まず、マッキントッシュ回路を第1図に示します。その特長は、

(1) 出力トランスの1次側コイルを分割し、出力電圧の50%をカソードに負帰還しているのです。直線性が高く、出力インピーダンスが低い。

(2) カソード側とプレート側のコイルをバイファイラー巻きで密結合しているのです。B級動作でもスイッチング・トランジェントひずみを発生しない。

(3) スクリーン・グリッドを他方のプレートに接続しているのです。各球のスクリーン・グリッド〜カソード間交流電圧がゼロとなる。すなわち、信号が印加されてもスクリーン・グリッド〜カソード間電圧は常



〈第1図〉 マッキントッシュの出力段

に一定の DC 電圧である。

これらを要約すると、「マッキントッシュ回路は、5極管動作ながら、出力インピーダンスは3極管より低く、かつ低ひずみ」といえます。

#### 出力段のシミュレーション

上の特長を検証するために、第2図の回路でシミュレーションしましょう。出力管は EL 34 です。

##### (1) トランスの1次2次巻数比

トランスの1次側には同じ巻数のコイルが4組あります。1次側の1つのコイルと2次側コイルの巻数比(変成比)を設定しましょう。

さて、第1図の回路は第3図の等価回路で表わせます。話を簡単にす

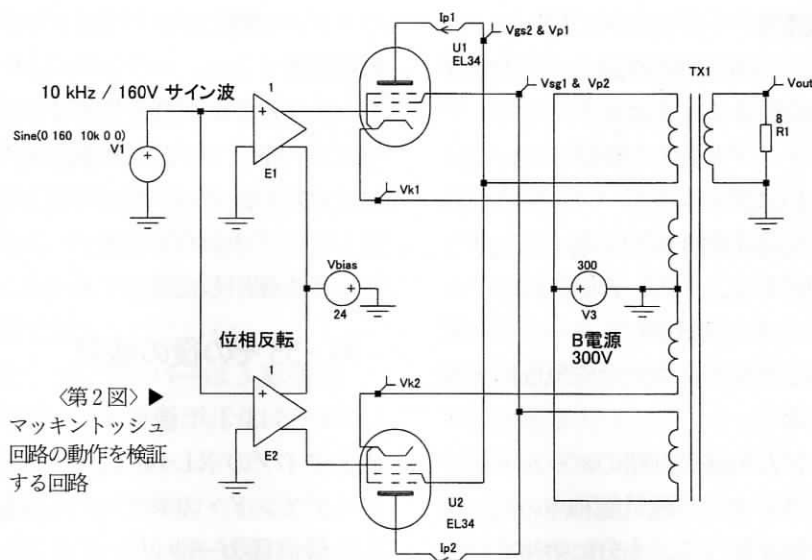
るため A 級 PP 動作を仮定すると、各球の交流プレート電流  $i_{p1}$ ,  $i_{p2}$  は同じ大きさで、流れる方向が逆です。したがって電源の内部を流れる  $i_{p1}$  と  $i_{p2}$  は打ち消し合い、電源電流の交流成分はゼロになります。つまり、信号電流は2個の EL 34 と4個のコイルの直列パスで還流します。

4個のコイルの直列インピーダンスを、EL 34 標準 PP の1次インピーダンス = 5 k $\Omega$  に設定すると、1次側の1つのコイルのインピーダンス  $Z$  は、

$$Z = \frac{5000\Omega}{4^2} = 312.5\Omega \quad \dots (10-84)$$

となります。したがって1次側の1つのコイルと2次側のコイルの巻数比  $N$  は、

$$N = \sqrt{\frac{8\Omega}{312.5\Omega}} = 0.16 \quad \dots (10-85)$$



〈第2図〉  
マッキントッシュ  
回路の動作を検証  
する回路

となります。

## (2) 出力トランスの設定

SIMetrix の回路図ウィンドウのメニューから [Place]→[Passives]→[Ideal Transformer……] をクリックし、現れたダイアログボックスを第4図のように編集します。すなわち、

# Primaries: 4

# Secondaries: 1

Primary 1 Inductance: 10

Inter-Primary Coupling: 1

Inter-Secondary Coupling: 1

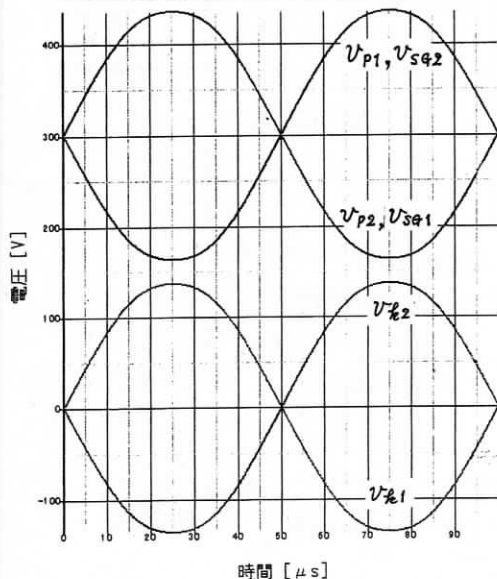
Primary-Second Coupling: 1

Define Turns Ratio to Primary 1

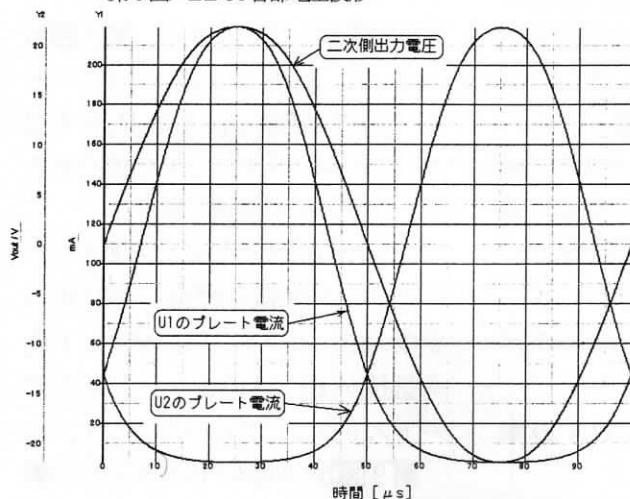
Prim 2: 1

Prim 3: 1

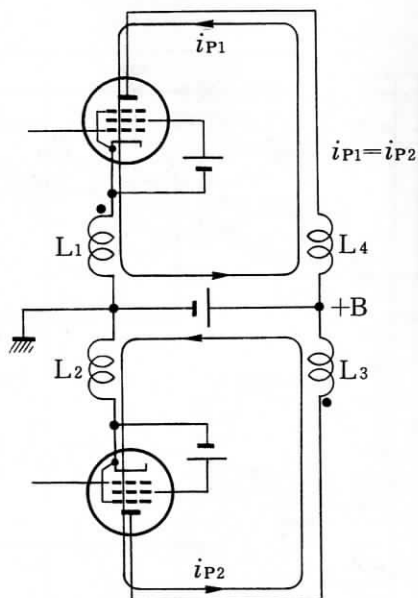
Prim 4: 1



〈第5図〉 EL 34 各部電圧波形



〈第6図〉 EL 34 の tp 波形と OPT 2 次側電圧波形 (8 Ω)



〈第3図〉 マッキントッシュ回路のプレート電流 (交流分) の流れ

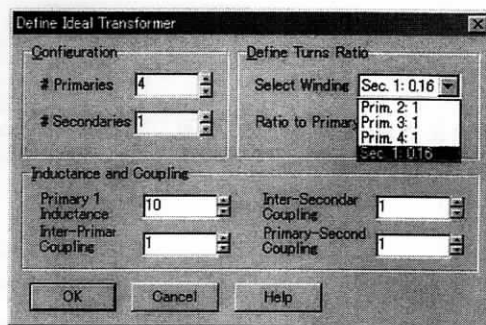
Sec1: 0.16

1次側の各コイルのインダクタンスは 10 H です。4 個直列で 160 H になります。1 次側各コイル間の結合係数は 1 としました。1 次コイル～2 次コイル間の結合係数も 1 としています。

入力信号は 10 kHz/片ピーク振幅 160 V のサイン波です。EL 34 のグリッド・バイアス電圧は -24 V。AB 級動作です。

E1 と E2 は電圧制御電圧源で、ゲインは 1 倍です。E2 は位相反転させています。

## (3) プレート (スクリーン・グリッド) 電圧波形およびカソード電圧波形



〈第4図〉 トランスのパラメータ設定

第3図の回路の過渡解析結果を第5図に示します。スクリーン・グリッド～カソード間電圧は確かに 300 V 一定です。

プレート電流波形と 2 次側出力電圧波形を第6図に示します。無信号時のプレート電流は 44 mA で、ピーク・プレート電流は 218 mA、典型的な AB 級動作になっています。2 次側出力電圧は、8 Ω 負荷に対し ±22 V です。出力電力  $P_o$  は、

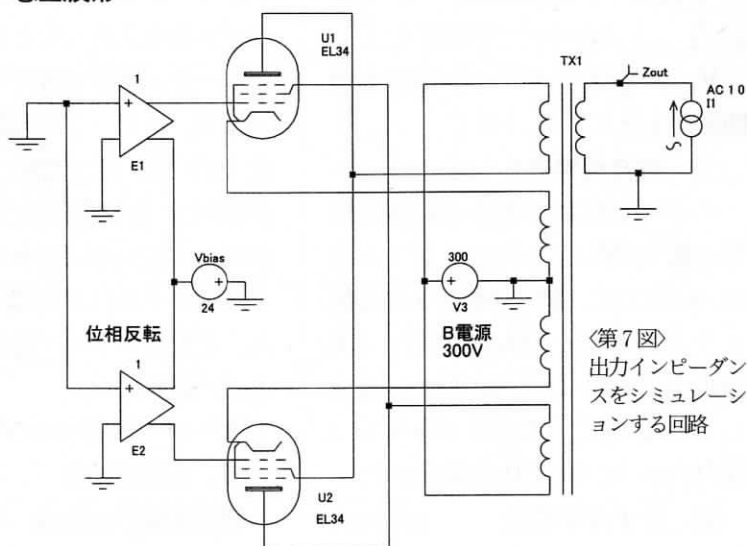
$$P_o = \frac{22^2}{2 \times 8} = 30.25 \text{ [W]}$$

となります。

## (4) 出力インピーダンス

トランス 2 次側の出力インピーダンスをシミュレーションしてみましょう。入力端子を短絡し、出力端子に 1 A の AC 電流を注入したとき、出力端子に発生する AC 電圧が出力インピーダンスです (第7図)。

出力インピーダンスの周波数特性は 10 Hz～100 kHz において 0.87



〈第7図〉 出力インピーダンスをシミュレーションする回路

〈第9図〉▶

(a)マッキントッシュ  
風出力 30 W パ  
ワー・アンプの原  
理回路

(b)点線のように接続  
を変え、×点を切  
断すると、ドライ  
ブ段がブートスト  
ラップされる

Ω とシミュレーションされました  
(第8図)。

## マッキントッシュ風 30 W アンプ原理回路

第9図の回路は、第2図の出力段に FET 差動増幅回路と 12 AU 7 ドライブ段を加えたものです。

初段から EL 34 のグリッドまでを直結にするため、EL 34 のカソード電位を V5 によって 300 V 持ち上げています。

EL 34 のグリッド・バイアス電圧  $V_{gk0}$  は次式で与えられます。

$$\begin{aligned} V_{gk0} &= V_{pk0} - R_5 I_2 / 2 \\ &= 300 - 50 \times 6.5 = -25 [V] \\ &\dots\dots\dots (10-86) \end{aligned}$$

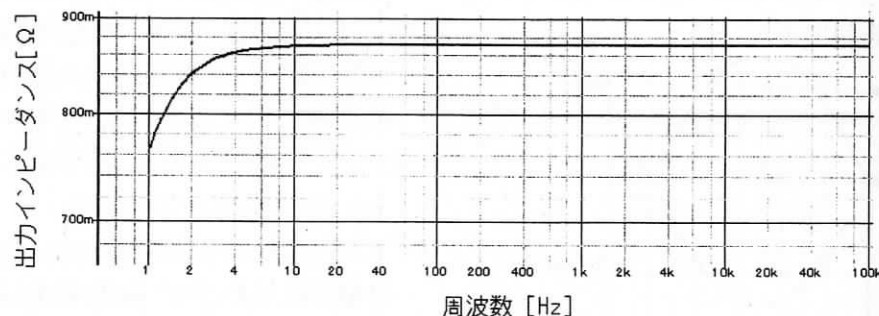
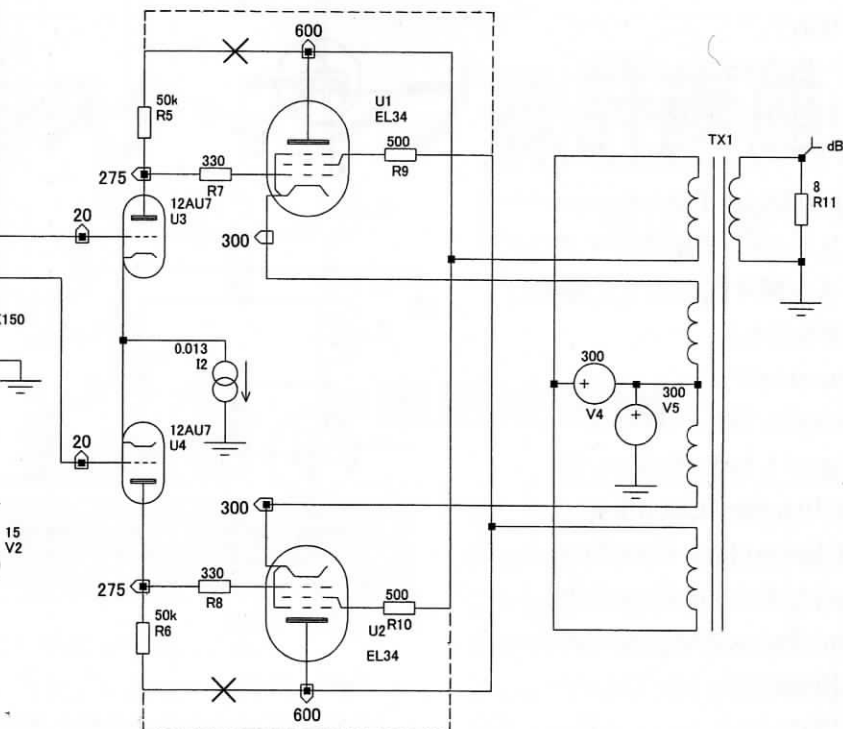
$$\left( \begin{array}{l} V_{pk0} : \text{EL 34 無信号時プレー} \\ \text{ト・カソード間電圧} \end{array} \right)$$

$V_{gk0}$  は初段のドレイン電圧と無関係に定まります。

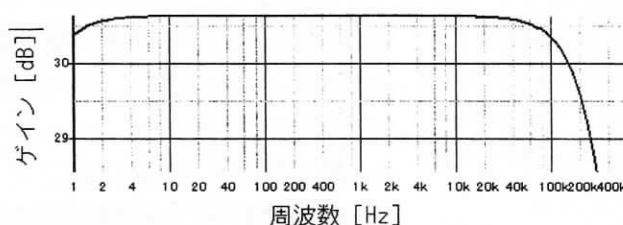
### (1) 周波数特性

ゲイン周波数特性の AC 解析結果を第10図に示します。ゲインは 30.6 dB です。結合係数=1 の理想トランスを使っているため、100 kHz のゲインは 0.3 dB しか減衰していません。低減のゲインは 1 Hz において 0.2 dB の減衰です。

### (2) ひずみ率特性



〈第8図〉 出力インピーダンスの周波数特性



〈第10図〉  
第9図のアンプの  
ゲイン周波数特性

片ピーク振幅 500 mV/1 kHz のサイン波を入力したときの出力電圧のフーリエ解析結果を第11図に示します。片ピーク出力電圧 (1 kHz) は 16 V で、第3調波ひずみ率は約 2% です。出力段に 50% の局部帰還がかかっているにもかかわらず、ひずみ率はそれほど改善されていません。これはドライブ段のひずみ率が大きいからです。

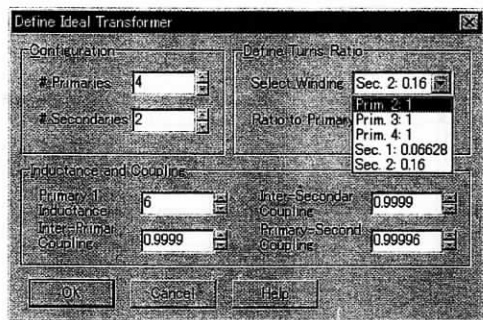
### (3) ブートストラップでひずみ率を改善する

第9図(a)の回路は、ドライブ段の

プレート負荷抵抗  $R_5$  を U1 のプレートに接続していますが、第9図(b)のように、 $R_5$  を U1 のスクリーン・グリッドに接続し、また  $R_6$  を U2 のスクリーン・グリッドに接続すると、ひずみ率が激減します。

なぜなら、スクリーン・グリッド～カソード間電圧は常に 300 V 一定なので、ドライブ段のプレート負荷抵抗が EL 34 のカソードからブートストラップされるからです。

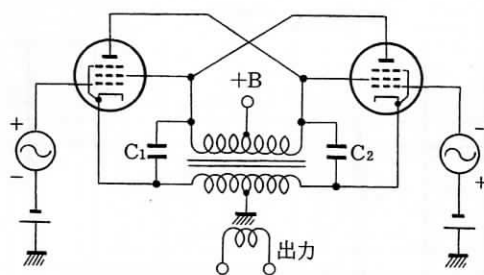
第9図(b)の回路の周波数特性を第12図に示します。ゲインは 33.0 dB



◀〈第15図〉  
タンゴ CRD-5 出力トランスのパラメータ設定

◀〈第16図〉▶

島田聡氏によるクロスシャント PP. C<sub>1</sub>C<sub>2</sub>でコイルをシャントする



風パワー・アンプを第14図に示します。R7=R8=R11=R12=56Ωはトランスの巻線抵抗です。

R26=161mΩとR1=388mΩは2次巻線抵抗、C2=C3=C6=C7=2060pFは巻線容量です。

トランスの設定を第15図に示します。各1次側コイルのインダクタンスは6H(すなわち4個直列で96H)です。1次コイル~2次コイル間の結合係数は0.99996、1次コイル間および2次コイル間の結合係数は0.9999としました。

実際の1次コイル間結合係数は不明です。そこで結合係数が不足する場合も想定し、EL34のスクリーン・グリッド~カソード間に100μFを接続しています。すなわちクロス・シャントPP(第16図)にしています。

## (2) 定電流回路

初段差動増幅回路のテール電流は

TL431と2SC1775Aで安定化しています。テール電流I<sub>tail</sub>の値は次式で与えられます。

$$I_{tail} = \frac{V_{ref}}{R_{18}} = \frac{2.49}{620} = 4.02 \text{ mA}$$

.....(10-87)

2段目の12AU7差動増幅回路のテール電流もTL431と2SC2705で安定化してあります。

EL34のグリッド・バイアス電圧は、VR2を調整し、-24.16Vに設定しています。

## (3) 周波数特性

ゲイン対周波数特性を第17図に示します。トランスの2次側から13.5dBの負帰還をかけています。第15図のC4=C5=15pFは位相補償容量です。

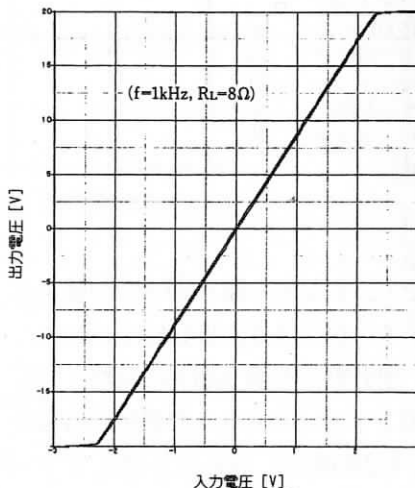
## (4) ひずみ率特性

片ピーク振幅1.85V/1kHzの正弦波を入力したときの8Ω端子

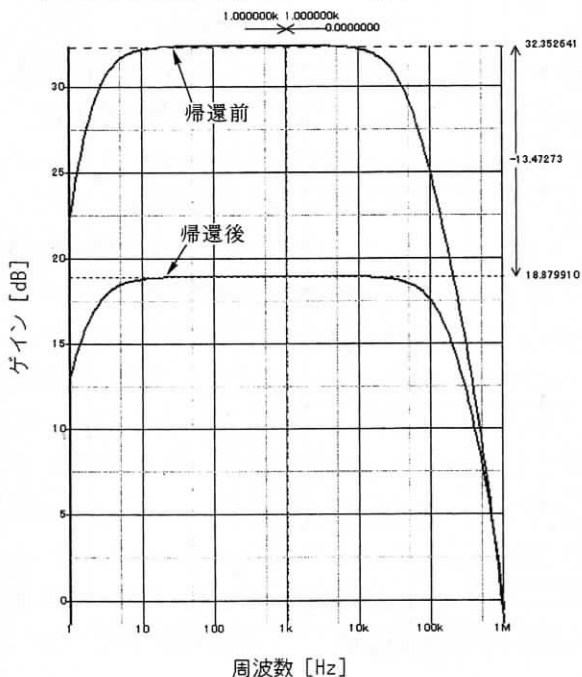
出力電圧のフーリエ解析結果を第18図に示します。出力電圧(1kHz)は16.2Vで第3調波ひずみ率=0.043%となっています。

## (5) 入出力特性

片ピーク振幅3V/1kHzの正弦波を入力したときの入出力電圧のリサージュ図形を第19図に示します。最大出力電圧は±20V程度で、最大出力電力は約25Wです。



◀〈第19図〉第14図アンプの入出力特性



◀〈第17図〉  
第14図のアンプのゲイン周波数特性

◀〈第18図〉▶  
第14図のアンプの出力電圧(R<sub>L</sub>8Ω)のフーリエ解析結果

